

무수석고-고로슬래그계의 수화반응

송종택 · 고상열 · 노재성*

단국대학교 재료공학과, *충남대학교 화학공학부
(1997년 7월 4일 접수)

Hydration in the System of Anhydrite II-Blastfurnace Slag

J.T. Song, S.Y. Go and J.S. Rho*

Dept. of Mater. Sci. and Eng., Dankook Univ.
*School of Chem. Eng., Chungnam Univ.
(Received July 4, 1997)

요 약

무수석고-고로 슬래그계의 수화반응을 조사하기 위하여 각각 500, 700°C에서 1시간 하소한 천연석고에 10, 20, 30wt.% 슬래그를 첨가한 양을 100%로해서 촉진제로는 K_2SO_4 , $Al_2(SO_4)_3 \cdot 16-18H_2O$, $AlK(SO_4)_2 \cdot 12H_2O$ 를 사용하여 물/고체비를 0.45로 수화반응을 시킨 후 1, 3, 7, 14, 28일에 걸쳐 주로 수화 생성물을 결합수량의 측정, XRD, DTA, DSC 및 SEM에 의해서 확인 및 관찰하였다. 그 결과, 500°C로 하소한 무수석고의 경우 재령 1일에 수화반응이 거의 완료되어져 2수석고로 전이되었으며, 슬래그의 반응은 거의 일어나지 않은 것으로 보여졌다. 700°C의 경우, K_2SO_4 의 첨가계에서 수화가 반응초기에 가장 빨랐으며, 3일이 경과하면서 $Al_2(SO_4)_3$ 의 촉진효과가 가장 큰 것으로 나타났다. 또한 슬래그의 양이 증가할수록 수화반응이 늦어졌으며, K_2SO_4 를 첨가한 계에서는 ettringite의 생성이 관찰되었으나, $Al_2(SO_4)_3$ 와 $AlK(SO_4)_2$ 의 경우에는 2수석고 외의 다른 수화생성물을 관찰할 수 없었다.

ABSTRACT

In order to investigate the reaction in the system of anhydrite II- blast furnace slag, the paste hydration which made up with a liquid/solid ratio of 0.45 for 1, 3, 7, 14, 28days by the addition of accelerators to 10 ~ 30wt.% slag with natural gypsum calcined for 1hour at 500/700°C was studied by combined water determination, XRD, DTA, DSC and SEM. As a result of this experiment, it was found that hydration rate was faster in the system calcined at 500°C. Therefore the anhydrite was converted to calcium sulfate dihydrate in the hydration for 1day but the slag was not almost reacted. For the gypsum calcined at 700°C, the hydrator rate in the system of K_2SO_4 addition was faster than others in the earlier period, but the activated effect of the system of $Al_2(SO_4)_3$ addition was regarded as the highest over 3days. As the amount of slag was increased, the hydration rate was delayed and ettringite was observed in the case of K_2SO_4 system. However both $Al_2(SO_4)_3$ and $AlK(SO_4)_2$ systems showed calcium sulfate dihydrate only as hydrated products.

Key words : Anhydrite II, Blastfurnace slag, Paste hydration, Combined water, Ettringite

1. 서 론

2수석고($CaSO_4 \cdot 2H_2O$)는 높은 온도에서 가열하면 탈수반응에 의해 II형 무수석고($II-CaSO_4$)로 되며, 무수석고는 액상중에서 수화반응에 의하여 2수석고로 전이된다. 이 때 반응촉진제가 존재하지 않을 경우에는 수화가 매우 느리므로, II- $CaSO_4$ 의 수화반응을 촉진시키기 위해서는 자극제가 필요하다. 반응촉진제로는 다음과 같은 물질이 알려져 있다.

① 중성, 약산성 황산염

K_2SO_4 , $NaSO_4$, $(NH_4)_2SO_4$, $MgSO_4$, $CdSO_4$, $FeSO_4$, $CuSO_4$, $Al_2(SO_4)_3$ 및 이들의 복염

② 수소산염

$NaHSO_4$, $KHSO_4$

③ 염기

CaO , $Ca(OH)_2$, $Mg(OH)_2$, 칼리명반, $Ca(OH)_2$ 및 시멘트, 염기성 슬래그 등

무수석고의 수화반응에 관해서는 무수석고가 잠재수

경성 물질이므로, 주로 응결촉진제와 경화성에 대하여 연구가 많이 진행되어 왔으며¹⁻⁷⁾, II-CaSO₄의 수화반응과 경화성에 많은 결과들이 얻어지고 있다. 그러나 II-CaSO₄에 비교적 많은 양의 열기성 반응제인 고로슬래그를 사용하여 실험한 경우는 거의 없다. 따라서 본 연구에서는 무수석고와 고로슬래그에 촉진제인 K₂SO₄ (이하 KS), Al₂(SO₄)₃ · 16~18H₂O (이하 AS), AlK(SO₄)₂ · 12H₂O (이하 AKS) 및 Ca(OH)₂를 첨가해서 무수석고의 수화반응에 대하여 검토하였다.

2. 실험

2.1. 시료

본 실험에서 사용한 무수석고는 모록코산 천연 2수석고를 전기로에서 500°C 및 700°C에서 온도별로 1시간씩 소성하여 얻었다. 하소된 시료의 분말 X선 회절도는 Fig. 1과 같다. 500°C 및 700°C에서 소성된 시료로 부터 II-CaSO₄의 (022)면 ($2\theta=25.7^\circ$)의 회절 피크를 비교하면 700°C의 것이 좁아졌다. 이 경우, 회절피크의 넓어짐의 차이는 결정입자의 크기와 표면의 형태에 주로 원인이 있다고 생각되어진다. 또한, 천연석고에서는 II-CaSO₄ 상이 공존하고 있는 것으로 나타났다.

Fig. 2는 소성된 시료의 SEM 사진이다. 일반적으로 2수석고를 소성하면 무수석고가 되는 과정에서 모결정의 외형을 남긴 채, 결정수가 빠진 각구조로 표면에 균열이 생기지만, 본 실험에서는 일부만 이와 같은 상태를 확인할 수 있었다. 700°C로 하소한 것이 500°C의 경우보다도 분쇄정도가 좀더 어려웠다.

고로슬래그(이하 슬래그라함)는 제철 생산시 부산되는 슬래그를 수냉시킨 것으로 200 mesh 채에 통과시킨 것을 사용하였다. 천연 2수석고 및 슬래그의 화학조성을

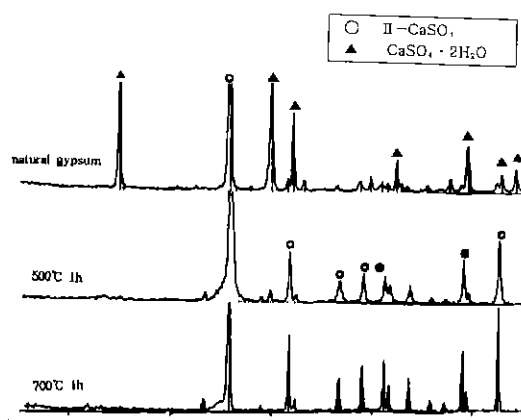


Fig. 1. XRD patterns of natural and calcined gypsums

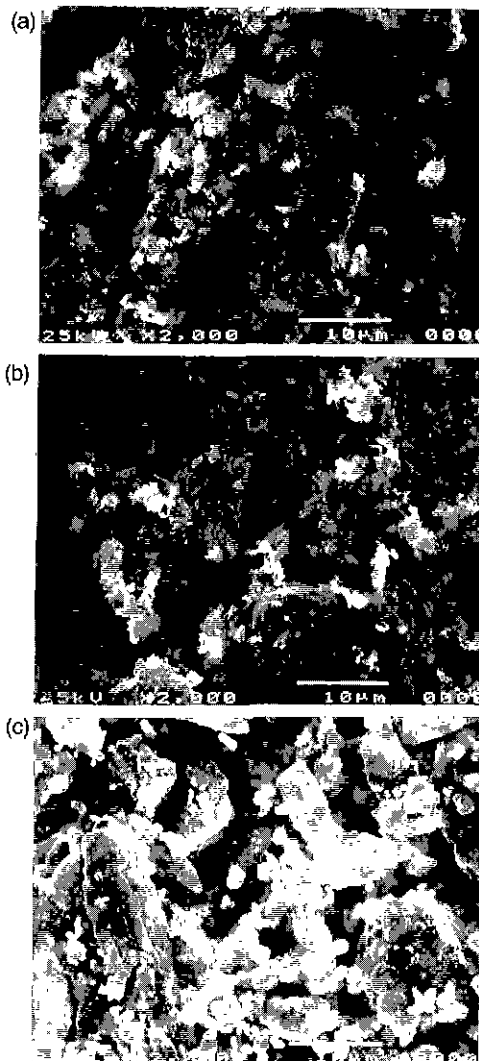


Fig. 2. SEM photographs of natural and calcined gypsums (a) Natural gypsum, (b) 500°C, 1hr and (c) 700°C, 1hr

Table 1에 나타내었다. 반응촉진제로는 KS, AS, AKS 및 Ca(OH)₂는 1급 시약을 사용하였으며, 수화반응을 정지시키기 위하여 사용한 아세톤도 1급시약이다. Table 2는 본 실험에서 제작한 시편의 배합비를 나타낸 것이다.

2.2. 실험방법

실험방법으로는 각 온도에서 소성한 무수석고 시료에 슬래그를 10~30wt.% 첨가하여 100으로한 시료에다 물 또는 촉진제 수용액을 45%로 하여 10분간 혼련한 후 폴리에틸렌병에 넣어 실온에서 일정기간 수화반응을 시켰으며, 그 과정을 Fig. 3에 나타내었다.

Table 1. Chemical Compositions of Natural Gypsum and Blastfurnace Slag

	SiO ₂	Al ₂ O ₃	Fe ₂ O ₃	CaO	MgO	P ₂ O ₅	SO ₃	K ₂ O	Na ₂ O	Mn	Ig.-Loss
Natural gypsum	1.45	0.13	0.13	32.38	0.35	0.01	29.35	0.015	0.02	0.004	0.24
Blastfurnace slag	33.4	15.6	0.8	42.9	6.3	-	-	0.45	0.22	-	-

Table 2. Mixing Ratio of Specimen (wt.%)

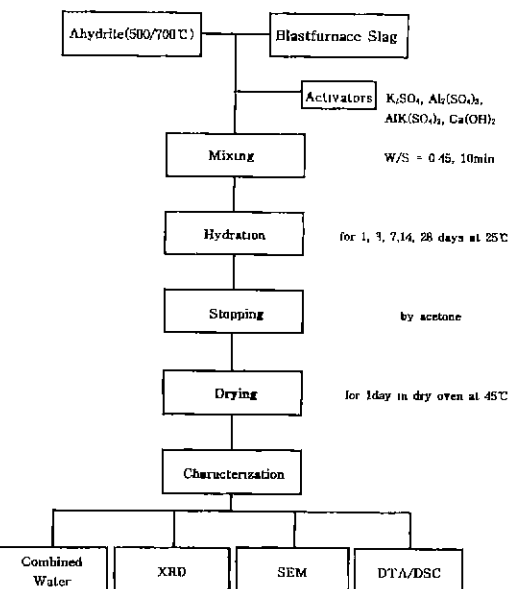
Sam- ple No.	Cal- cined temp. (°C)	Mixing ratio			Ca ⁺ (OH) ₂	
		Anhy- drite	Accelerators			
			KS	AS		
1	500	90	1.4	-	-	-
2			-	2.5	-	-
3			-	-	3.0	-
4		80	1.4	-	-	-
5			-	2.5	-	-
6			-	-	3.0	-
7		70	1.4	-	-	-
8			-	2.5	-	-
9			-	-	3.0	-
10	700	90	1.4	-	-	-
11			-	2.5	-	-
12			-	-	3.0	-
13		80	1.4	-	-	-
14			-	2.5	-	-
15			-	-	-	-
16			1.4	-	-	2
17			-	2.5	-	2
18			-	-	3.0	2
19			1.4	-	-	3
20			-	2.5	-	3
21			-	-	3.0	3
22		70	1.4	-	-	4
23			-	2.5	-	4
24			-	-	3.0	4
25		30	1.4	-	-	-
26			-	2.5	-	-
27			-	-	3.0	-

2.2.1. X선 회절분석

Shimazu사의 XD-D1을 이용하여 원료 및 수화생성물의 분석을 행하였다. 측정 조건은 CuK α (Ni filter), 30 KV, 30 mA, scanning speed 4°/min, 2θ=5~45°로 하였다.

2.2.2. 열분석

열적 특성을 살펴보기 위하여 DTA(일본 RIGAKU사

**Fig. 3.** Flow chart for experimental process

의 TAS100)와 DSC(독일 NETZSCH사의 STA409) 장치를 이용하여 250°C까지 5°C/min로 시차열분석을 실시하였다.

2.2.3. 주사 전자현미경

일본 JEOL사의 JSM 5200을 사용하여 가속전압 20KV, 측정배율 ×2000으로 수화 경화체의 미세구조 및 수화생성물을 관찰하였다.

2.2.4. 결합수량의 측정

45°C에서 건조된 시료를 0.5 g 평량을 하여 전기로에서 350°C로 30분간 가열한 후 강열감량된 시료로부터 결합수량을 아래와 같이 계산하여 수화반응의 정도를 계산하였다.

$$\text{결합수량 (wt\%)} = \frac{a - b}{b} \times \frac{\text{CaSO}_4 \cdot 2\text{H}_2\text{O의 분자량}}{\text{CaSO}_4 \text{의 분자량}}$$

a : 45°C에서 건조시킨 시료의 무게(g)

b : 시료를 350°C에서 30분간 가열한 후의 무게(g)

2.2.5. pH 측정

무수석고-슬래그계의 수화반응에서 ettringite 생성에 대한 pH 영역을 알아보기 위해 슬래그 20% 첨가한 계에다

각각의 반응촉진제를 넣은 것과 여기에 높은 pH영역을 만들기 위하여 $\text{Ca}(\text{OH})_2$ 를 2, 3, 4%를 첨가한 것을 수용액/고체비 10으로 하여 실온에서 1, 3, 7일간 수화시킨 슬러리의 pH를 측정하였다.

3. 실험결과

여러 가지 무수석고-슬래그계를 각종 촉진제 수용액 중에서 수화시켰을 때의 결합수량을 Fig. 4, 5, 6에 나타냈다. 이들 계의 수화속도는 전체적으로 500°C로 하소한 무수석고의 경우가 700°C로 하소한 것보다 빨랐으며, 이미 수화 1일에 무수석고가 2수석고로 바뀐 것을 알 수 있다. AS 수용액으로 촉진시켰을 경우, 슬래그 20%와 30% 첨가에서 결합수량이 약간씩 커지고 있는 것으로 보아 다른 수화반응이 일어나고 있는 것으로 생각되나,

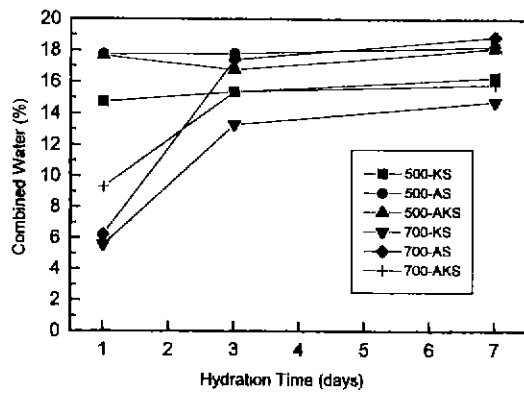


Fig. 4. Amount of combined water in the system of anhydrite(calcined at 500, 700°C)+10wt% slag+various activators (KS : K_2SO_4 , AS : $\text{Al}_2(\text{SO}_4)_3$, AKS : $\text{AlK}(\text{SO}_4)_2$)

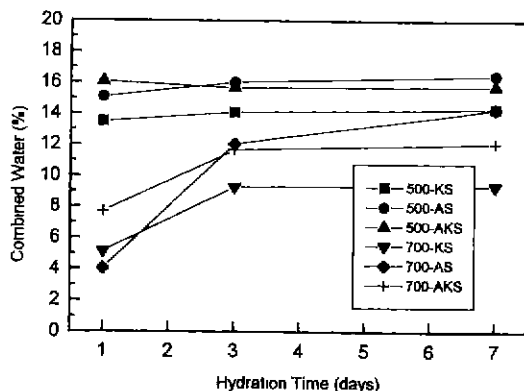


Fig. 5. Amount of combined water in the system of anhydrite(calcined at 500, 700°C)+20wt% slag+various activators

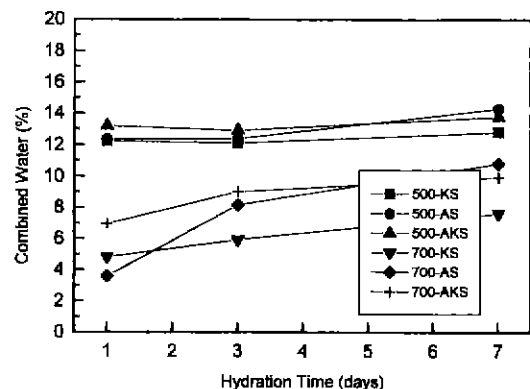


Fig. 6. Amount of combined water in the system of anhydrite(calcined at 500, 700°C)+30wt% slag+various activators

X선 회절분석(Fig. 7, 8)에서는 수화 7일 까지는 2수석고 외의 다른 수화생성물은 확인할 수 없었다.

700°C로 하소했을때, 슬래그 10%와 20%첨가에서는

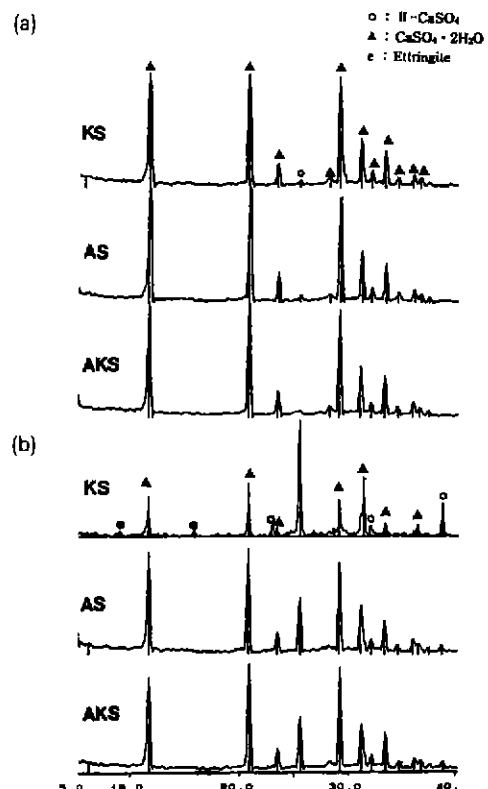


Fig. 7. XRD patterns of hydrated products in the system of anhydrite(calcined at 500, 700°C)+20wt% slag+various activators for 7days (a) 500°C 1hr and (b) 700°C 1hr

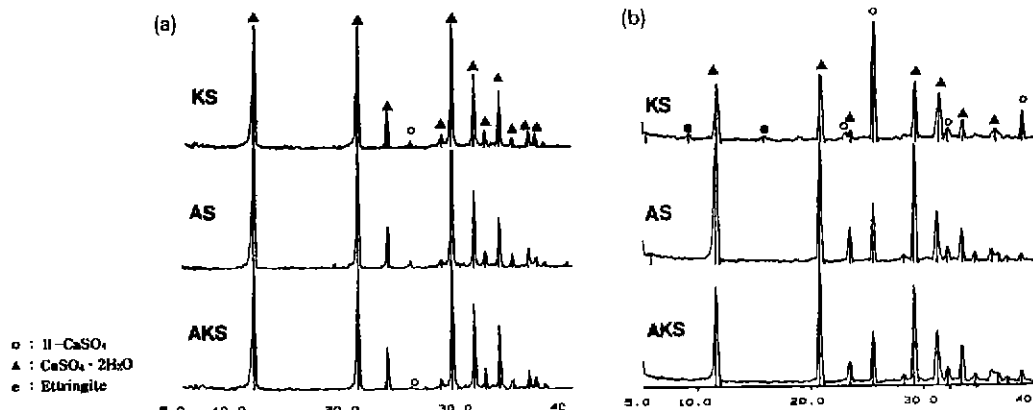


Fig. 8. XRD patterns of hydrated products in the system of anhydrite(calcined at 500, 700°C)+30wt% slag+various activators for 7days (a) 500°C 1hr and (b) 700°C 1hr

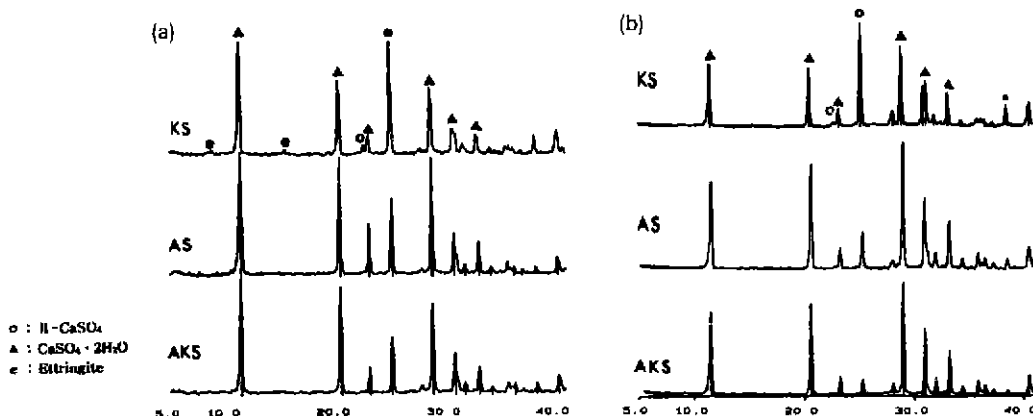


Fig. 9. XRD patterns of hydrated products in the system of anhydrite(calcined at 700°C)+20wt% slag+various activators for 14, 28days (a) 14 days and (b) 28 days

비슷한 결합수량 곡선을 나타내고 있으며, 10%첨가의 경우, 3일에서 무수석고가 2수석고로 거의 바뀐 것을 알 수 있다.

수화 촉진작용에서는 1일에서는 KS, AKS가 AS보다 촉진효과가 커지고 있다. 그러나 슬래그의 첨가량이 많아지면, 적을 경우(10, 20%)보다 수화의 다른 양상을 보이고 있다. 또한 700°C로 하소한 것도 500°C로 하소한 것과 비교하면 결합수량의 차이는 있으나, 비슷한 경향을 나타내고 있다. 특히 AS의 경우, 계속 결합수량이 조금씩 커지고 있으나, 7일까지는 다른 수화생성물을 확인할 수 없었으며, 오히려 KS첨가 7일에서 ettringite 피크가 나타났다(Fig. 7).

여기에서 수화 7일 이상 재령에 따른 ettringite의 생성을 좀 더 알아보기 위하여 28일까지 수화를 계속하여 보았다. KS의 경우, X선 회절분석(Fig. 9) 및 열분석(Fig. 10)에 의하면 ettringite가 14일까지 생성되었으나

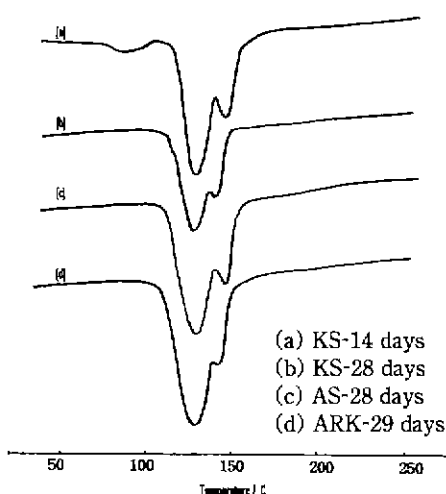


Fig. 10. DSC curves of hydrated products in the system of anhydrite+20wt% slag+various activators

28일에는 나타나지 않았다. SEM 관찰(Fig. 11)에서도 7일 및 14일까지는 침상의 ettringite가 보였으나 28일에는 거의 2수석고만이 생성된 것을 알 수 있었다. 그러나 AS, AKS 첨가에서는 28일까지 ettringite의 생성을 확인할 수 없었다.

Fig. 12, 13, 14, 15는 무수석고-슬래그계에 각종의 촉진제를 넣은 다음, 다시 $\text{Ca}(\text{OH})_2$ 무첨가와 첨가한 경우의 슬래그 pH를 측정한 결과이다. $\text{Ca}(\text{OH})_2$ 의 무첨가계에서 KS의 경우 1일에서는 pH 11.3을 나타내다가 pH가 다소 감소하면서 7일에는 11까지 내려갔다. 반면, AKS나 AS에서는 수화일수가 지남에 따라 pH가 증가하는 경

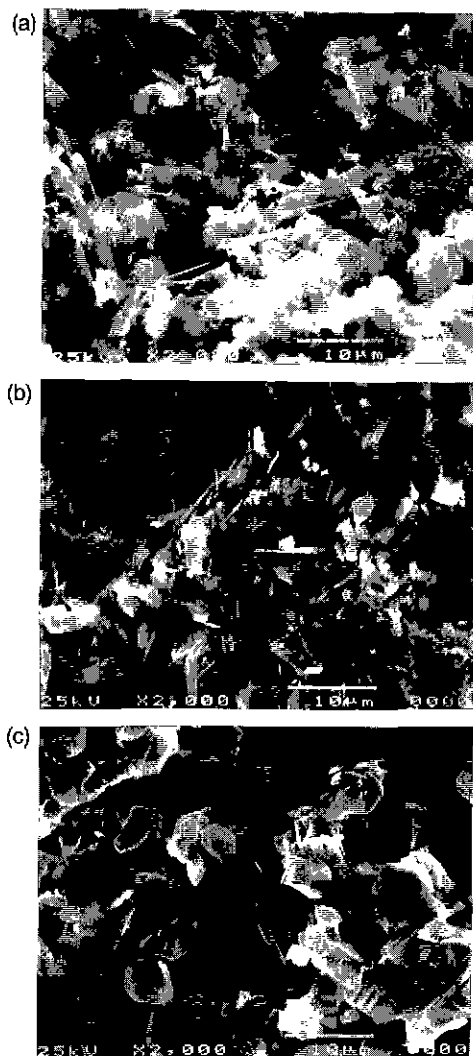


Fig. 11. SEM photographs of hydrated products in the system of anhydrite+20wt% slag+ K_2SO_4 (a) 7 days, (b) 14 days and (c) 28 days

향을 나타내어 1일에 pH 6.3, 4.1이었다가 수화 7일에 가서 pH 7.4와 6.5를 나타내었다(Fig. 12). $\text{Ca}(\text{OH})_2$ 의

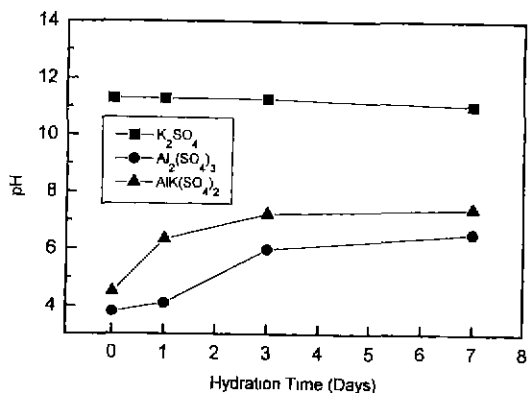


Fig. 12. Changes of pH in the system of anhydrite+20wt% slag+various activators (W/S=10)

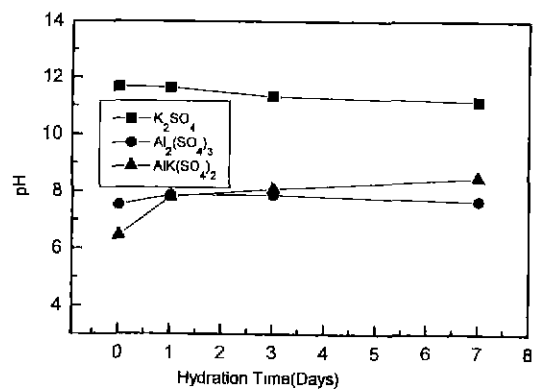


Fig. 13. Changes of pH in the system of anhydrite+20wt% slag+various activators+2wt% $\text{Ca}(\text{OH})_2$ (W/S=10)

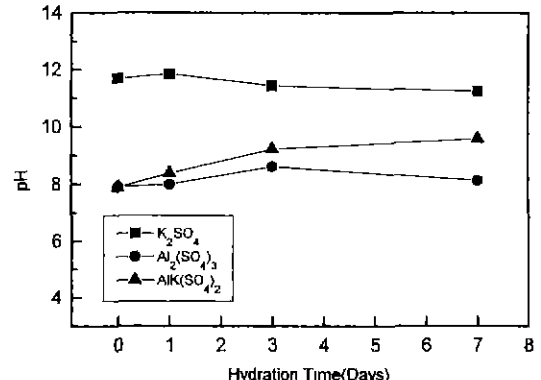


Fig. 14. Changes of pH in the system of anhydrite+20wt% slag+various activators+3wt% $\text{Ca}(\text{OH})_2$ (W/S=10)

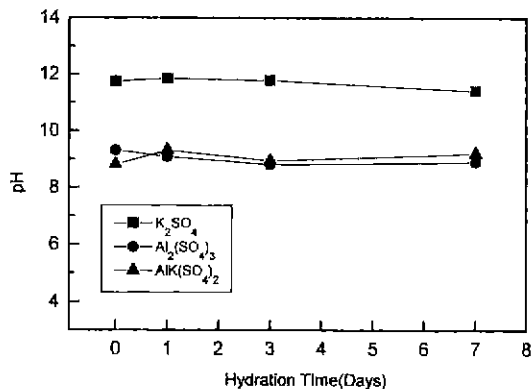


Fig. 15. Changes of pH in the system of anhydrite+20wt% slag+various activators+4wt% Ca(OH)₂ (W/S=10)

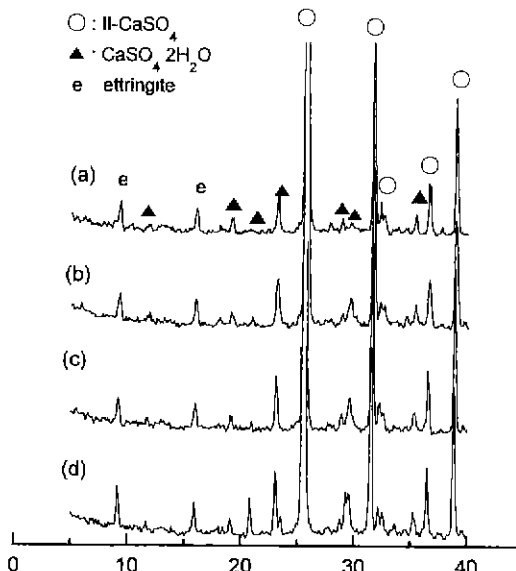


Fig. 16. XRD patterns of hydrated products in the system of anhydrite+20wt% slag+K₂(SO₄)+Ca(OH)₂ (a) without Ca(OH)₂, (b) 2wt% Ca(OH)₂, (c) 3wt% Ca(OH)₂ and (d) 4wt% Ca(OH)₂

첨가함에 따라 각각 모든 계에서 pH가 높아지는 것을 볼 수 있었다. Ca(OH)₂ 4%를 첨가한 경우, KS에서는 1일에 pH 11.8인 것이 수화 7일에 11.4로 떨어졌으며, AKS와 AS에서는 수화 7일에 각각 9.2 및 8.9의 값을 보였다.

4. 고 칠

500°C와 700°C로 하소한 무수석고-슬래그계에 여러

가지 반응촉진제를 사용하여 수화실험을 한 결과 전체적으로 500°C에서 하소한 경우가 반응성이 훨씬 더 큰 것으로 나타났다. 이것은 분말 X선 회절분석(Fig. 1)과 SEM관찰(Fig. 2) 및 분쇄정도로부터 II-CaSO₄의 결정도 관계를 추정하여 볼 때, 고온측이 점점 결정성이 높아져서 반응성이 낮아진 것으로 생각된다.⁸⁾

또한 슬래그의 첨가량이 증가할수록 전체적인 결합수량이 감소하고 있는 것을 알 수 있는데, 이것은 시료중 무수석고가 차지하는 비율이 상대적으로 감소하였으며, 슬래그의 수화가 거의 진행되지 못했기 때문으로 여겨진다. 첨가한 슬래그의 반응률이 아주 적다고 가정하고 무수석고가 100% 수화했을 때를 기준으로 하여 결합수량을 계산해 보면, 슬래그 첨가량 10%에서 AS로 7일 수화했을 때 석고의 반응률이 약 100%로 KS 78.6%, AKS 84.2%에 비교해서 가장크게 나타났다. 슬래그의 첨가량이 증가하면 이러한 차이는 줄어들고 있으며. 석고의 수화율도 상대적으로 감소하고 있다. 이는 슬래그가 반응제로서 거의 작용을 하지 못하였기 때문으로 생각된다. 그러나 슬래그 20%와 30%에다 KS로 촉진시킨 수화 7일 시편에서 결합수량이 가장 작은데 불구하고 X선 회절분석결과(Fig. 7, 8)에서 2수석고 피크외에 약한 ettringite의 피크를 확인할 수 있었다.

이러한 ettringite는 14일까지 생성이 지속되었으나, 28일에는 나타나지 않은 이유는 ettringite의 생성량이

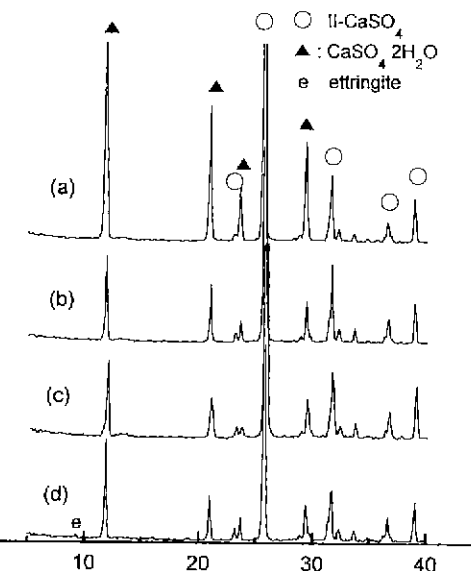


Fig. 17. XRD patterns of hydrated products in the system of anhydrite+20wt% slag+Al₂(SO₄)₃+Ca(OH)₂ (a) without Ca(OH)₂, (b) 2wt% Ca(OH)₂, (c) 3wt% Ca(OH)₂ and (d) 4wt% Ca(OH)₂

적은 데다가 적당치 않은 pH영역으로, 분해가 된 것으로 생각된다. 또한 AS, AKS 첨가에서는 pH측정의 경우, pH값이 약간씩 높아지고 있는 것은 슬래그로 부터 Ca^{2+} 이온의 용출이 되고 있는 것으로 생각되며, pH 증성의 범위(7.4와 6.5)에서는 Al^{3+} 이온의 용출이 어렵기 때문에 ettringite가 생성되지 않는 것으로 여겨진다.⁹⁾

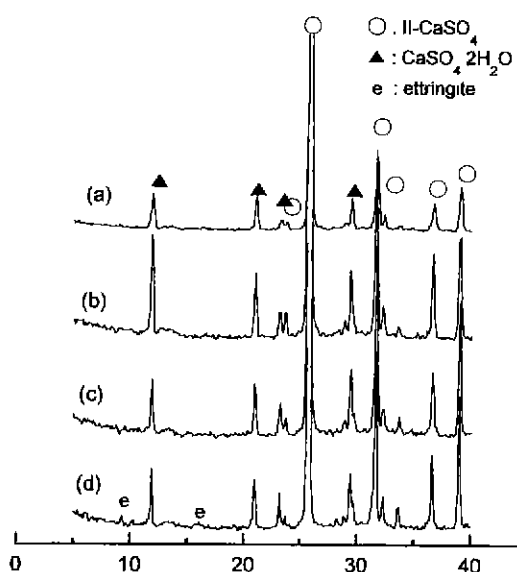


Fig. 18. XRD patterns of hydrated products in the system of anhydrite + 20wt% slag + $\text{AlK}(\text{SO}_4)_2$ + $\text{Ca}(\text{OH})_2$ (a) without $\text{Ca}(\text{OH})_2$, (b) 2wt% $\text{Ca}(\text{OH})_2$, (c) 3wt% $\text{Ca}(\text{OH})_2$ and (d) 4wt% $\text{Ca}(\text{OH})_2$

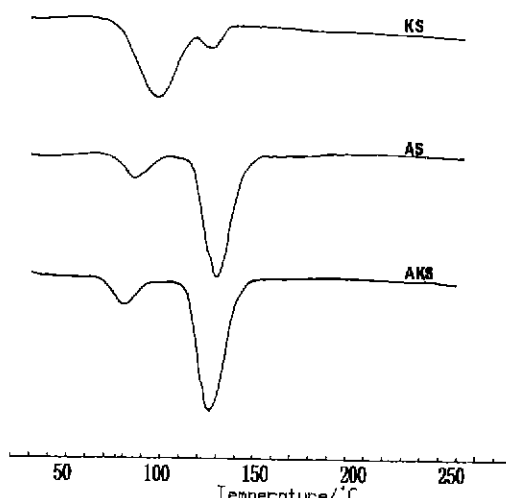


Fig. 19. DTA curves of hydrated products in system of anhydrite + 20wt% slag + various activators with 4wt% $\text{Ca}(\text{OH})_2$

$\text{Ca}(\text{OH})_2$ 의 첨가량이 늘어남에 따라 KS의 경우에는 ettringite의 생성량이 조금씩 늘어나는 것으로 나타나 슬래그의 반응이 진행되고 있는 것을 볼 수 있었다(Fig. 16). 또한 AKS나 AS의 경우, 4%의 수화 7일에서는 9.2, 8.9로 비교적 낮은 값을 나타내고 있지만, X선 회절분석(Fig. 17, 18) 및 DTA 분석결과(Fig. 19)에서는 ettringite가 생성되었음이 확인되었다. 이러한 결과는 비록 AKS 및 AS를 사용한 계에서 수용액의 pH는 비교적 낮지만, $\text{Ca}(\text{OH})_2$ 무첨가 보다 첨가할 경우가 무수석고-슬래그계에서 pH 증가에 따른 슬래그의 반응이 다소 진행되는 것으로 보여진다. 그러나 슬래그-석고계에서 ettringite의 활발한 생성은 적어도 pH 12 이상이 되어야 한다는 보고¹⁰⁾와는 pH가 상당히 차이가 있기 때문에 ettringite의 많은 양이 생성되지 못한 것으로 생각된다.

4. 결 론

위와 같은 무수석고-고로슬래그계의 수화실험에서 다음과 같은 결론을 얻을 수 있었다.

1. 500°C로 하소한 무수석고의 경우 1일이 경과하면서 이미 수화반응이 거의 완료되어진 것처럼 나타났고, 슬래그의 반응은 거의 일어나지 않은 것으로 보였다.
2. 700°C의 경우, 초기에는 K_2SO_4 의 수화가 가장 빨랐으며, 반응 3일이 경과하면서부터는 $\text{Al}_2(\text{SO}_4)_3$ 의 촉진 효과가 가장 크게 나타났다.
3. Ettringite의 생성은 K_2SO_4 첨가의 경우 수화 7일부터 약간 나타났으며, $\text{Al}_2(\text{SO}_4)_3$ 및 $\text{AlK}(\text{SO}_4)_2$ 계에서는 $\text{Ca}(\text{OH})_2$ 4% 첨가시 확인되었다.

REFERENCES

1. 日本石膏石灰學會編, 石膏石灰ハンドブック, pp.116, 技報堂(1980).
2. 日本窯業協會編, 窯業工學ハンドブック, pp.1619, 技報堂(1976).
3. 村上惠一, 花田光雄, “天然無水石膏の水和に關する研究” 石膏と石灰, No. 8, 3 (1953).
4. 永井彰一郎, 關谷道雄, “無水石膏系プラスターの研究(第3報)”, 石膏と石灰, No. 16, 19(1955).
5. 村上惠一, 田中弘文, “合成無水セツコウによるキニンスセメトトの製造”, 石膏と石灰, No. 50, 22(1961).
6. M. Singh, S.S Rehs und C.A. Taneja, “Entwicklung eines Phosphatgips-Anhydrits”, Zement-Kalk-Gips, 34(11), 595(1981).
7. 山田保, 渡邊誠, “無水セツコウの水和と吸湿に對する摩碎二水セツコウ의促進作用” 石膏と石灰, No. 193, 21(1984).
8. Michel Murat, 飯田貴也譯 濑戸山克己要約 “硫酸カルシウムの構造、結晶化學と反應性(V)”, 石膏と石灰,

- No. 162, 29(1979).
9. 宋宗澤, 大門正機, 近藤連一, "NaOH 자극에 의한 고로수쇄슬래그의 수화반응" *요업학회지*, 17(3), 158~162 (1980).
10. M. Daimon, J.T. Song, A. Nishita, O. Yamaguchi, C. E .Kim, "Change in Liquid Composition During the Hydration of Granulated Blastfurnace Slag in the Presense of Calcium Sulfate," *Gypsum & Lime*, No. 178, 24~29 (1982).